

C-1 유한요소법에 의한 자개해석에 관한 연구.

임 달호*, 김규탁*, 김용수*
*; 한양대학교

A Study on The Magnetic Field Analysis by
C-1 Finite Element Method.

Im Dal-Ho*, Kim Gyu-Tak*, Kim Yong-Su*
*: Hanyang University

1. 서 론

전기기기의 자개해석에 유한요소법이 도입된 이래, 국내에서도 많은 연구가 있었으나 지금 까지의 해석 방법은 요소의 경계상에서 Vector Potential A 만을 연속으로 하는 C-0 유한요소법으로 해석하였다.

C-0 유한요소법은 선형요소는 수식전개 및 Computer Program이 간단하기 때문에 널리 사용되고 있으나 전기기기 해석 및 설계시 중요한 요인인 자속밀도는 Vector Potential의 미분 연산으로 계산하기 때문에 정확도가 매우 떨어지며 균일 매질일지라도 요소의 경계상에서 불연속이 된다.

그리므로 C-0 유한요소법에서 자속밀도를 연속으로 하려면 최소한 요소내의 절점수가 21 개인 Quintic 요소 이상으로 보간 차수를 높여야 한다. 이경우 수식전개 및 Computer Program이 매우 복잡하며, 요소내부 및 경계상에 절점이 존재하여 Condensation이 필요하게 된다. 더 나아가 기존의 C-0 유한요소법에서 자속밀도는 Gaussian 적분점에서 계산되므로 구하고자 하는 절점의 자속밀도는 정확도가 떨어져 고에너지 밀도의 전기기기 해석시 문제점이 많았다.

이러한 문제점을 해결하기 위하여, 본 연구에서는 요소의 경계상에서 Vector Potential A 와 자속밀도의 법선방향 성분이 연속성을 만족하며, Vector Potential의 방향 도함수를 기본 방정식의 미지수로 하는 C-1 유한요소법을 제안하였다. 이러한 C-1 유한요소법에서는 자속밀도 B를 System 방정식으로부터 직접 구할 수 있다.

본 연구의 유용성을 규명하기 위하여 해석적인 모델에 이 방법을 적용하였으며, 선형요소를 이용한 C-0 유한요소법의 결과와 비교, 검토하였다.

2. 적용 이론

2.1 기본방정식과 개변수의 근사화

적용한 모델의 자속분포를 2차원적으로 해석하기 위하여 다음과 같은 가정을 두었다.

- (1) 입력전류 밀도는 z 방향 성분만 존재하며 z 방향 변화율은 없다.
- (2) 도체의 외류 및 표피효과는 무시한다.
- (3) 자개는 준 정상상태로 변화전류는 무시한다.

이상과 같은 가정하에서 Maxwell의 전자방정식을 적용하여 자비방정식을 유도하면 식 1) 과 같은 Vector Potential에 대한 Poisson 방정식이 된다.

$$\frac{\partial^2 A}{\partial x^2} + \frac{\partial^2 A}{\partial y^2} = -\mu J \quad (1)$$

여기서 A 및 J는 Vector Potential 및 전류 밀도의 z 방향 성분이며 μ 는 공기중의 푸아蠢이다. 식 1)에 유한요소법을 적용하기 위하여 해석영역을 그림 1과 같이 9개의 D.O.F. (Degree of Freedom)을 갖는 삼각요소로 분할하면 각 절점의 개변수는 다음과 같다.

$$\{A_i\} = [A_1, A_{1x}, A_{1y}, A_2, A_{2x}, A_{2y}, A_3, A_{3x}, A_{3y}]^T \quad (2)$$

여기서 A_i 는 i 절점의 Vector Potential이며, A_{ix} , A_{iy} 는 각각 i 절점에서의 Vector Potential A의 x, y 방향 1개 도함수이다. 이경우 요소 내부의 개 변수 변화는 면적좌표계의 3차 다항식으로 표현할 수 있다.

$$[L_1^3 L_2^3 L_3^3 L_1^2 L_2 L_1^2 L_3 L_2^2 L_1 L_3^2 L_1 L_2 L_3] \quad (3)$$

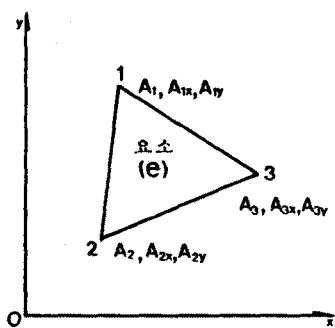


그림 1. 9개의 D.O.F.을 갖는 삼각요소

그림 1과 같이 9개의 D.O.F.을 갖는 요소는 위 항중 한항을 소거시켜야 한다. 그러나 L_i^3 항은 각 절점에서 Vector Potential을 규정하는 항이며, L_i^1, L_i^2 항은 Vector Potential에는 영향을 주지 않으나 Vector Potential의 미분치 즉 자속밀도의 x, y 성분을 결정하는 항이다.

마지막 항 $L_1^1 L_2^1 L_3^1$ 은 각 절점의 Potential 및 도함수에는 영향을 미치지 않고 단지 요소내부의 변화만을 나타낸다. 그러나 이 항을 제거하면 요소내부의 Potential 및 그 미분치의 근사에 오차를 수반하게 되며 특히 요소경계의 미분치가 불연속이 되는 점이 발생하게 되어, 본 연구에서는 L_i^1, L_i^2 항에 가중치로 고려하여 해의 정확도를 높였다. 그림 1과 같이 D.O.F.을 갖는 요소에서 Vector Potential A 를 규정하는 D.O.F.는 3으로 선형적인 변화를 하므로 요소내 임의 점에서의 Vector Potential A 는 다음과 같이 근사화 된다.

$$\begin{aligned} A = & a_0 L_1 + a_1 L_2 + a_2 L_3 + a_p (L_1^2 L_2 + D) + a_q (L_1^2 L_3 + D) \\ & + a_r (L_2^2 L_3 + D) + a_s (L_2^2 L_1 + D) + a_t (L_3^2 L_1 + D) + a_u (L_3^2 L_2 + D) \quad 4) \end{aligned}$$

여기서 L_i 는 각 절점에 대한 면적좌표로 $L_i = (a_i + b_i x + c_i y)/2\Delta$ 로 표현 되며 $a = x_j y_k - x_k y_j$, $b = y_j - y_k$, $c = x_k - x_j$ 로 주어지는 순환수이고 Δ 는 삼각요소의 면적이다. 또 $G = \Delta L_1 L_2 L_3$ 로 Δ 는 0~1사이의 값을 갖는 상수이다.

이 근사화된 계 변수 A 를 각 절점치 $\{A_i\}$ 로 표현하면

$$A = [N] [C] \{A_i\} \quad 5)$$

이다.

2-2. C-1 유한요소와 계 방정식

식 1)의 차배방정식으로부터 해석영역의 에너지 범함수를 유도하면 다음과 같다.

$$X = \int_D \frac{1}{2} \left\{ \left(\frac{\partial A}{\partial x} \right)^2 + \left(\frac{\partial A}{\partial y} \right)^2 - 2\mu_0 AJ \right\} dx dy \quad 6)$$

여기서 D 는 전 해석영역이다.

각 요소에서의 범함수를 X^e 라 하면

$$X = \sum X^e$$

$$= \sum_{e=1}^9 \int_{\Delta} \frac{1}{2} \left\{ \left(\frac{\partial A}{\partial x} \right)^2 + \left(\frac{\partial A}{\partial y} \right)^2 - 2\mu_0 AJ \right\} dx dy \quad 7)$$

이다. 식 1)의 Poisson 방정식의 해를 구하는 것은 식 7)의 에너지 범함수가 최소화되는 A_p 를 구하는 것과 동가이다. 즉

$$\begin{aligned} \frac{\partial X}{\partial A_p} &= \sum_{e=1}^9 \frac{\partial X^e}{\partial A_p} \\ &= [S] (A_p) - \{F\} = 0 \quad 8) \end{aligned}$$

$P=1, 2, 3, \dots, 9$ 총 D.O.F. 수

을 만족하는 A_p 가 식 1)의 해이다.

여기서

$$[S] = \sum_{e=1}^9 \int_{\Delta} [C]^T \left[\begin{array}{c} \frac{\partial N}{\partial x} \\ \frac{\partial N}{\partial y} \end{array} \right]^T \left[\begin{array}{c} \frac{\partial N}{\partial x} \\ \frac{\partial N}{\partial y} \end{array} \right] [C] dx dy$$

$$\{F\} = \sum_{e=1}^9 \mu_0 J \int_{\Delta} [C]^T L N J^T dx dy \quad 9)$$

이다.

3. 적용 예 및 결과 고찰

3-1. 해석 모델

본 연구에서는 C-0 유한요소와 C-1 유한요소로 해석시 정확도를 비교하기 위하여 Poisson 방정식이 성립하는 해석적 모델을 택하였다.

그림 2와 같은 해석모델에 대하여 전기, 자기적인 대칭성을 고려하여 우측 부분만을 해석영역으로 설정하였다. 경계조건으로는 x 축, y 축, x 에 접하는 부분과 $x = a$ (0.07 m)상에서는 자연 경계조건을, 도체 부분과 충분한 거리를 둔 $y = b$ (0.17 m)에서는 Dirichlet 경계조건을 만족시키므로 전기기계의 slot 영역 해석시와 유사한 모델을 설정하여 그림 3과 같이 요소분할하였다. 여기서 절점수는 60 개, 요소수는 90개이며 C-1 유한요소의 총 D.O.F.는 180개이고 미지 D.O.F.는 144개이다. 이때의 해석해는 다음 식으로 주어진다.

$$A(x, y) = \sum_{i=1}^n \sum_{j=1}^m A_{ij} \cos m_i x \cos n_j y \quad (10)$$

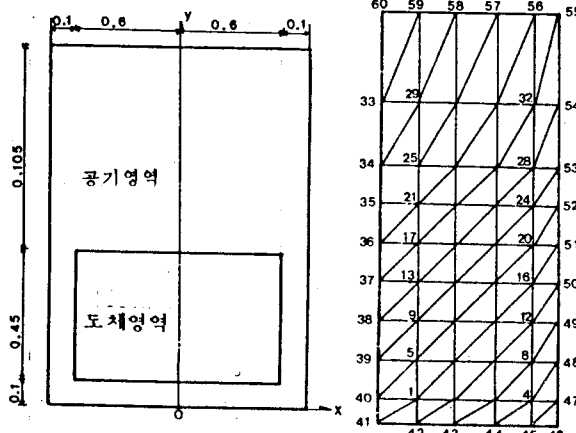


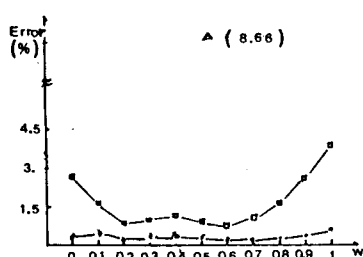
그림 2. 해석 모델 그림 3. 요소 분할도

3-2. 해석 결과 및 검토

C-0, C-1 유한요소법에 의해 구한 해를 식 10)의 해석해와 비교하여 표 1), 2)에 나타내었으며 식 4)에서의 가중치 ω 의 변화에 따른 오차를 그림 4에 도시하였다.

표 1) Potential 값의 비교표

점집	해석해	C-0 해	C-1 해
5	12287E-01	122297E-01	122288E-01
6	12211E-01	122215E-01	122212E-01
7	12076E-01	12074E-01	12077E-01
9	11549E-01	11547E-01	11549E-01
10	11480E-01	11481E-01	11481E-01
11	11354E-01	11358E-01	11356E-01
14	10238E-01	10237E-01	10238E-01
15	10147E-01	10155E-01	10146E-01
17	87854E-02	87781E-02	87847E-02
18	87508E-02	87503E-02	87501E-02
19	86985E-02	87040E-02	86978E-02
20	86461E-02	86534E-02	86454E-02
21	73023E-02	72986E-02	73018E-02
22	72823E-02	72820E-02	72818E-02
23	72551E-02	72576E-02	72546E-02
24	72322E-02	72350E-02	72319E-02
25	58329E-02	58307E-02	58325E-02
26	58220E-02	58215E-02	58216E-02
27	58082E-02	58092E-02	58078E-02

그림 4. 가중치 ω 의 변화에 따른 Potential 및 자속밀도의 오차

- : C-0 유한요소의 Potential 평균 오차
- : C-1 유한요소의 Potential 평균 오차
- △ : C-0 유한요소의 자속밀도 평균 오차
- : C-1 유한요소의 자속밀도 평균 오차

표 2) 자속밀도 값의 비교표

점집	해석해	C-0 해	C-1 해
5	-33179E-02	-38472E-02	-32747E-02
6	-69401E-02	-73387E-02	-67991E-02
7	-11464E-01	-11806E-01	-11335E-01
9	-29860E-02	-27039E-02	-29845E-02
10	-63318E-02	-60332E-02	-62978E-02
11	-10768E-01	-10060E-01	-10428E-01
14	-47829E-02	-40298E-02	-48905E-02
15	-74676E-02	-63554E-02	-78300E-02
17	-15749E-02	-86114E-03	-16118E-02
18	-29911E-02	-23911E-02	-30451E-02
19	-38104E-02	-33162E-02	-39524E-02
20	-27106E-02	-30066E-02	-27140E-02
21	-94788E-03	-64397E-03	-96956E-03
22	-16691E-02	-13571E-02	-16930E-02
23	-18259E-02	-16707E-02	-18477E-02
24	-10873E-02	-12767E-02	-10806E-02
25	-52770E-03	-36592E-03	-53926E-03
26	-88186E-03	-70510E-03	-88695E-03
27	-88862E-03	-80336E-03	-88682E-03

이상의 결과로 부터 다음과 같은 사실을 알 수 있었다.

- 1) C-0 유한요소법에서 계산수는 Vector Potential 및 Potential의 값은 만족스러운 결과를 얻었으나 Potential의 미분 연산으로 계산되는 자속밀도는 그오차가 8.66%로 나타났다. 그러므로 C-0 유한요소법으로는 정확한 자속분포 양상을 볼 수 있으나 전기기기의 중요 정수인 자속밀도는 오차가 매우 커 정확도를 높이려면 요소수를 증가 시켜야 한다.
- 2) 요소의 경계상에서 자속밀도의 연속성을 만족하는 C-1 유한요소법은 자속밀도를 계산식으로 부터 직접 구할 수 있었으며 Vector Potential 및 자속밀도의 오차는 각각 0.02%, 0.84%로 C-0 유한요소법과 비교할 때 매우 만족스러운 결과를 얻었다.
- 3) L1L2L3를 보정하여 주는 가중치 ω 는 Potential의 정확도에는 거의 영향을 미치지 않으나 자속밀도의 계산에서는 $\omega = 0.6$ 인 경우 오차가 최소로 되었다. 따라서 자속밀도를 정확하게 계산하려면 L1L2L3항의 보정이 필요 불가결하다.
- 4) 강재 경계조건이 주어진 경계의 인접 절점의 오차는 매우 커 이에대한 고찰이 시급하다.

4. 결 론

고 에너지 밀도의 전기기기 특성해석에 있어서 자속밀도 산출은 기존의 C-0 유한요소법으로는 문제점이 많아 본 연구에서는 요소의 경계상에서 자속밀도의 연속성을 만족하며, 자배방정식으로부터 직접 구할 수 있는 새로운 유한요소법을 제안하였다.

C-1 유한요소법은 해석 영역을 상대적으로 크게 분할 하여도 높은 정확도를 갖는 자속밀도를 구할 수 있으므로 전기기기에 대한 특성 해석 및 계발, 설계시 외류 및 표피효과 등을 고려하여 본 방법을 적용하면 정확한 자속밀도 산출이 가능하여 Inductance 및 Torque에 대한 정도높은 규명이 가능하리라 본다.

참 고 문 헌

- 1) 임 달호, "전기기의 유한요소법", 동명사, 1987.
- 2) Koshi Itaka, Mikio Kaji, Takashi Hara, "New Finite Element Field Calculation Technique in Which Continuity of Electric Flux Is Satisfied.", IEEE Trans. PAS-99, No. 6, pp2102-2112, 1980.
- 3) D.C.Zienkiewicz, "The Finite Element Method.", 3-nd ed., McGraw-Hill Book Co., New York, 1977.
- 4) Kenneth H. Huebner, " The Finite Element Method for Engineering.", 2-nd ed., John Wiley & Sons, 1982.
- 5) Erh-Rong Wu, " A Cubic Triangular Element with Local Continuity - An Application in Potential Flow.", Int. Journal for Numerical Methods in Engineering., Vol. 17, pp 1147 - 1159, 1981.
- 6) K.G.Binns, P.J. Lawrenson, "Analysis and Computation Electric and Magnetic Field Problems.", 2-nd ed., Pergamon Press, 1973.